

LANDSAT MSSデータによる宮島山林火災被害調査

広島工業大学
○菅 雄三
(財)リモートセンシング技術センター 田中 繁太郎
同 上
移村 俊郎

1. はじめに

広島県は、全国有数の林野火災多発県である。特に、瀬戸内海沿岸・島嶼部に多く発生し、毎年3～5月に集中している。過去5か年間(昭和52年～56年)の年平均発生件数は267件、同面積は598haであると報告されている。¹⁾ さらに、59年3月11日には、瀬戸内海国立公園である宮島において山火事が発生し、同島南部の国有林が甚大な被害を受けた。本研究では、山林火災被害調査に新しい測量技術として近年注目されていいるリモートセンシング技術を導入することを試み、そこから得られたいくつかの知見について述べる。

2. 宮島山林火災

山火事は、異常乾燥下で北西風にあおられ燃え広がり、Figure 1. に示す林班が被災した。焼失面積は、人工林19.21ha、天然林231.34haである(広島管林署調べ)。

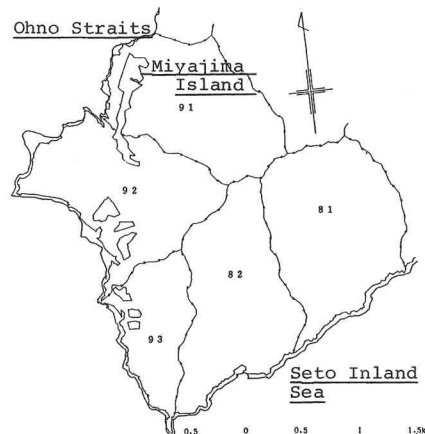


Figure 1. Forest fire affected area in Miyajima Island

3. Landsat MSSデータによる宮島山林火災調査

我が国でLandsatデータを用いた山林火災調査に関する研究を行った最初のものは、参考文献²⁾である。さらに、焼跡地の土地被覆変遷評価のためのLandsatデータによる時系列解析の研究例としては参考文献⁴⁾がある。

3.1. 宮島山林火災被害調査のためのLandsat地図の作成

Landsatデータを種々の環境調査に利用する場合、従来の地形図との整合性が必要となる。このため筆者らは、Landsat地図などをもとに開発した。²⁾これは、2万5千分の1地形図と等大区画を連携し、所定の地上基準点によつて標高を行き、その標高に従つてLandsat MSS画像を再配分するものである。本研究では、宮島を中心にして12個の地上基準点を設置し、Plate 1., 2. に示すLandsat地図を作成した。標定誤差は、±0.4%。

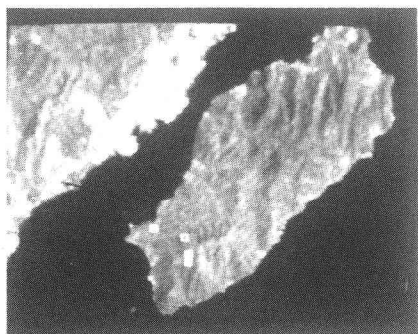


Plate 1. False colour imagery of Miyajima Island (Landsat MSS data : 2 June, 1981)

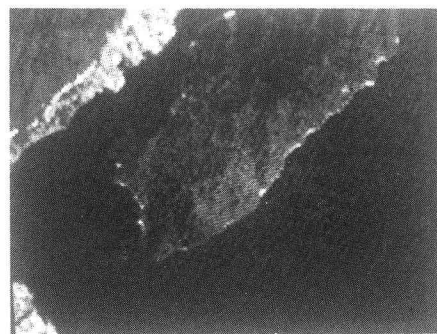


Plate 2. False colour imagery of Miyajima Island (Landsat MSS data : 7 May, 1984., Blacken portion is the forest fire affected area.)

Table 1. Categorization performance and each estimated area

Theme	Land cover type/colour	Percent categorized as group of each training area				Area(km ²)
		Burnt area I	Burnt area II	Burnt area III	Unclassified	
1	Burnt area I/Red	92	3	6	0	0.50
2	Burnt area II/Pink	11	87	2	0	0.97
3	Burnt area III/Grey	0	15	80	5	0.80

クセルあたり 0.5 km^2 、地勢図への位置合せは、およそ 40 m^2 であった。Plate 1. はバンド 4, 5, 7 による焼失前の擬似カラー合成画像である。Plate 2. は焼失後のものであり、黒色部分が焼失地域である。

3.2. 主成分分析法による焼失地の分類処理

一般に、健全林の反射率は近赤外領域で大きいが、焼失後は灰化のため最も低くなる。現地調査によると、灰化表面の分光反射率は、 $0.70 \mu\text{m}$ 以下の可視領域では $2.7 \sim 4.6\%$ 、近赤外領域では $4.2 \sim 10.2\%$ と低い値である。³⁾

焼失地は、Table 1. に示すように 3 つのカテゴリに分類された。①地表火と樹冠火の両方を被り、上層木 Plate 3. Digital colour coded imagery of Miyajima devastation by Landsat MSS data の樹冠が完全に焼けた地域 (Burnt area I), ②地表植物は灰化したものと上層木は地表火を被り樹冠の一一部が焼けた地域 (Burnt area II), ③被災地と非被災地の境界付近で部分的に焼けた地域 (Burnt area III) である。

この分類処理は教師付分類といわれるものであり、上述のトレーニングエリアを設定することにより各カテゴリ - 每の母集団について主成分分析を行い、注目していするデータが各カテゴリ - のどれに属するかを判別するものである。この分類処理の達成度を示したのが Table 1. である。Burnt area I は、そのトレーニングエリア内で 92% を占め、3% は Burnt area II, 6% は Burnt area III として分類されている。Burnt area II の分類達成度は、87% であり、11% は Burnt area I, 2% は Burnt area III で占められている。Burnt area III は、80% で、15% は Burnt area II, 5% は他の地域で占められている。また Table 1. の右欄には、分類処理に基づく各焼失地の推定面積が示されている。これらの合計は、 2.27 km^2 あり、広島管林署調べによる 250.55 ha と比較してもほぼ同程度の推定ができた。Plate 3. は、以上の分類処理に基づき作成された Landsat MSS データによる宮島山林火災被害領域抽出 Landsat 地図である。

4.まとめ

Landsat MSS データによる宮島山林火災被害調査の結果、そのスペクトル特性の違いにより被災地を 3 つのカテゴリに分類抽出し、それぞれの推定面積を算定することができた。今後、焼失前後の時系列 Landsat データ解析により被災地の追跡調査を予定している。最後に、本研究に際し入林許可および資料提供をして下さった広島管林署に感謝いたします。なお、使用した Landsat データの一部は宇宙開発事業団による無償提供のものである。

(参考文献)

- 1) 広島県：林業の振興及び自然保護のための基本計画、昭和 58 年 8 月。
- 2) S. TANAKA, H. KIMURA and Y. SUGA : Preparation of 1:25000 Landsat map for assessment of burnt area on Etajima Island, Int. J. Remote Sensing, 1983, Vol. 4, No. 1, pp. 17-31.
- 3) 菅雄三, 田中義太郎, 村村俊郎: 宮島山火事跡地の分光反射特性について, 日本写真測量学会, 第 25 回年次学術講演会講演集。
- 4) Y. SUGA, S. TANAKA, H. KIMURA and T. SUGIMURA : Multi-Temporal Data Analysis for Assessment of Burnt Area Using LANDSAT MSS Data, The 14-th I.S.T.S., 1984 (in press).

